

Моделирование на ЭВМ процессов радиоактивного распада

УДК 543.53

Г. Г. АКАЛАЕВ

Математические методы обработки результатов измерений начинают широко применяться в практике актиационного анализа [1, 2].

Возможности этих методов проверяют на искусственных смесях, т. е. смесях известного качественного и количественного составов. Приготовление искусственных смесей разной концентрации связано с техническими трудностями. При измерениях радиоактивных характеристик распада смеси в натурном эксперименте кроме ошибки, связанный с вероятностной природой как радиоактивного распада, так и процессов взаимодействия излучения с веществом детектора, вносится дополнительная ошибка, обусловленная работой конкретной регистрирующей электроннофизической аппаратуры. Моделирование процессов радиоактивного распада на ЭВМ позволяет устранить дополнительные ошибки и снизить трудоемкость эксперимента.

Рассмотрим отдельные вопросы моделирования на ЭВМ процессов радиоактивного распада смеси изотопов, используя терминологию работы [3].

Получение кривой радиоактивного распада

Содержательное описание процесса. В моменты времени t_k ($k = 1, 2, \dots, m$) в течение интервала времени длительностью Δt_k производится регистрация количества распавшихся ядер N_k ; полученные числа N_k представляют кривую радиоактивного распада.

Математическая модель процесса. Имеется смесь радиоактивных изотопов (всего n изотопов), отличающихся друг от друга параметром λ_i — постоянной распада. В начальный момент времени $t = 0$ число радиоактивных ядер i -го изотопа ($i = 1, 2, \dots, n$) равно N_{0i} . Каждое ядро любого изотопа распадается в момент времени t ($0 < t < \infty$). Вероятность распада конкретного ядра i -го изотопа за время $t, t + dt$ задается плотностью вероятности $f_i(t)$ по закону радиоактивного распада:

$$f_i(t) = \lambda_i e^{-\lambda_i t} \quad (1)$$

Алгоритм. Определяем время распада каждого ядра смеси изотопов путем выборки случайных чисел из совокупности случайных чисел, распределенных по закону (1). Фиксируем те случаи, когда распад ядра происходит в интервале времени $t_k, t_k + \Delta t_k$. Полученный набор чисел N_k будет искомой кривой распада.

Таким образом, при реализации моделирующего алгоритма на ЭВМ необходим генератор случайных чисел с заданным законом распределения. Существует несколько способов получения на ЭВМ так называемых псевдослучайных чисел с произвольным законом распределения [4]. Поскольку на любой ЭВМ имеется датчик псевдослучайных чисел, равномерно распределенных в интервале $[0, 1]$ и удовлетворяющих критериям статистической проверки на случайность и равномерность, для получения случайных чисел с произвольным законом распределения в нашем случае наиболее удобен метод замены переменных (метод обратных функций). Согласно этому методу случайному числу ξ из совокупности случайных чисел, равномерно распределенных в интервале $[0, 1]$, ставится в соответствие случайное число η из совокупности случайных чисел,

распределенных по закону (1), по формуле

$$\eta = -\frac{1}{\lambda_i} \ln \xi. \quad (2)$$

Вопросы получения на ЭВМ псевдослучайных чисел со статистическим анализом подробно рассмотрены в работе [4]. Меняя величины N_{0i} и длительность измерения Δt_k , получим кривые распада смеси радиоактивных изотопов произвольной концентрации с желаемой статистической точностью.

Получение γ -спектра смеси радиоактивных изотопов на спектрометре с многоканальным анализатором

Содержательное описание процесса. Гамма-кванты, испускаемые смесью изотопов, распределяются по каналам анализатора. В результате измерения получаем набор чисел N_k — спектр анализируемой смеси изотопов, или число импульсов в k -м канале анализатора ($k = 1, 2, \dots, l$, где l — число каналов анализатора).

Математическая модель процесса. Имеется смесь радиоактивных изотопов, испускающих γ -кванты. Общее число радиоактивных изотопов равно n , активность i -го изотопа равна A_i . Вероятность регистрации γ -кванта i -го изотопа в k -м канале анализатора определяется плотностью распределения $f_i(k)$. Функция распределения $F_i(k)$ выражает вероятность регистрации γ -кванта i -го изотопа в любом из каналов анализатора от 1 до k :

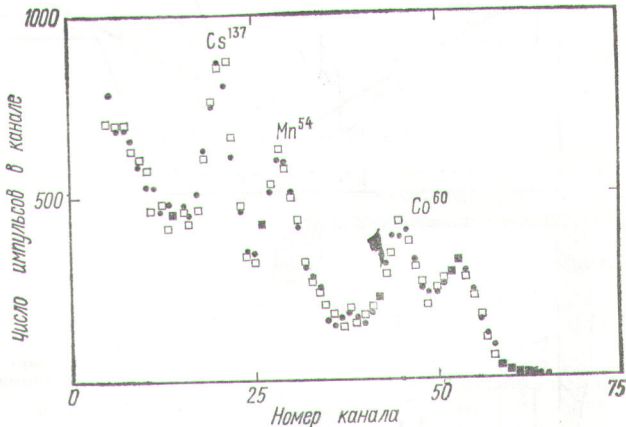
$$F_i(k) = \sum_{j=1}^k f_i(j). \quad (3)$$

Алгоритм. Число γ -квантов, испущенных i -м изотопом за время t , равно

$$N_i = A_i t.$$

Используя метод обращения, номер канала k , в который попадает γ -квант i -го изотопа, определяем из неравенства

$$F_i(k-1) < \xi \leq F_i(k). \quad (4)$$



Моделирование на ЭВМ γ -спектра трехкомпонентной смеси:

● — эксперимент; □ — моделирование.

Повторив операцию N_i раз, получим спектр зарегистрированных γ -квантов i -го изотопа. Перебрав и просуммировав все изотопы, получим γ -спектр многокомпонентной смеси.

Функция распределения $f_i(k)$ получается из так называемого эталонного спектра, или стандарта. Для этого с хорошей статистикой снимают γ -спектры отдельных изотопов, а затем нормируют на суммарную площадь спектра:

$$f_i(k) = N_i(k) / \sum_{j=1}^l N_j(j). \quad (5)$$

Очевидно, что возможные погрешности при моделировании по вышеприведенным формулам определяются качествами конкретного датчика псевдослучайных чисел. Например, если отрезок апериодичности L сравним с количеством выбранных при моделировании кри-

случайных чисел ($L \approx \sum_{i=1}^n N_{0i}$ при моделировании кри-

вой распада, или $L \approx \sum_{i=1}^n N_i$ при моделировании γ -спектра), то в полученные результаты будет внесена систематическая ошибка.

Оценка аварийных доз на мощных гамма-установках

Е. Д. ЧИСТОВ, И. Ф. СПРЫГАЕВ, И. П. КОРЕНКОВ,
А. В. ТЕРМАН, А. В. СЕДОВ

Эксплуатация мощных гамма-установок, как показывает практика, связана с возможностью возникновения аварий (или аварийных ситуаций). Одной из причин возникновения аварий является отказ системы блокировки входной защитной двери установки и сигнализации о положении облучателя и уровнях мощностей доз [1, 2]. Серьезные последствия подобных аварий вызывают необходимость оценки и прогнозирования доз внешнего облучения, воздействующего на пострадавшего.

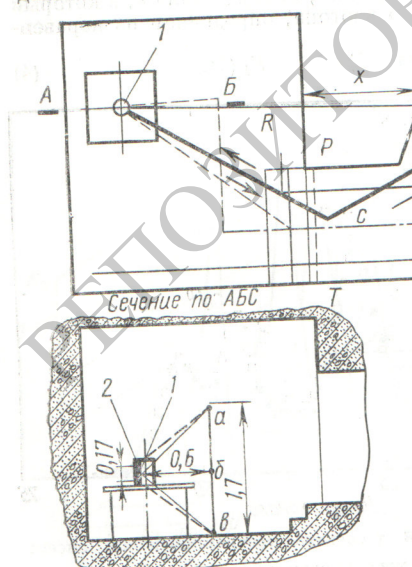


Рис. 1. Схема типовой планировки помещений мощной гамма-установки:

— осевая линия, — на-
ibblee вероятный путь движения пострадавшего, a, b — уровни головы, брюшной полости, стоп ног. I — облучатель; 2 — кассета с источником.

По приведенным алгоритмам были составлены программы расчетов на ЭВМ «Минск-22». На рисунке представлены результаты моделирования на ЭВМ γ -спектра трехкомпонентной смеси и экспериментальный γ -спектр, снятый на сцинтиляционном спектрометре с кристаллом NaI(Tl) размером 70×70 и амплитудным анализатором АИ-100.

Поступило в Редакцию 4/I 1970 г.
В окончательной редакции 23/VII 1970 г.

ЛИТЕРАТУРА

1. Е. М. Лобанов, Н. В. Зиновьев, А. Г. Дутов. В сб. «Активационный анализ чистых материалов», Ташкент, «Фанлар», 1968, стр. 26.
2. Б. Г. Егизаров и др. Программа и тезисы докладов XIX Ежегодного совещания по ядерной спектрометрии и структуре атомного ядра, ч. I. Л., «Наука», 1969, стр. 203.
3. Н. П. Бусленков. Математическое моделирование производственных процессов. М., «Наука», 1964.
4. Д. И. Голеников. Моделирование и статистический анализ псевдослучайных чисел на электронных вычислительных машинах. М., «Наука», 1965.

УДК 621.039-78

При типовой планировке в составе помещений мощной гамма-установки предусматривают рабочую камеру и лабиринт. В случае неисправной системы блокировки и сигнализации пострадавший, открыв дверь в лабиринт, следует к облучателю по маршруту, приведенному на рис. 1.

Суммарная доза D облучения пострадавшего может быть определена по соотношению

$$D = D_1 + D_2 + D_3, \quad (1)$$

где $D_1 = \int_{t_1}^{t_2} P \cdot dt \approx \sum_{i=1}^n P_i t_i$ — доза облучения при подходе к облучателю за время $t_2 - t_1$; D_2 — доза, которую получит пострадавший, находясь около облучателя в течение времени $t_3 - t_2$; $D_3 = \int_{t_3}^{t_4} P \cdot dt \approx$

$\sum_{i=1}^n P_i t_i$ — доза, которую получит

пострадавший при выходе из рабочей камеры за время $t_4 - t_3$. Для определения указанных величин необходимо знать распределение полей доз вдоль оптической длины лабиринта (пути пострадавшего).

В общем виде доза в любой точке лабиринта может быть определена как сумма доз, создаваемая прямым и обратно рассеянным (отраженным)